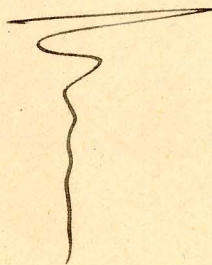
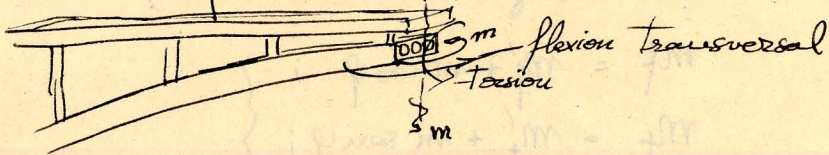


E. CORTANTES DE

TORSIÓN



Estudiar el viento en arco así:



Aplicando el Teorema de Castiglione:

$$\int_a^c \frac{M_f}{EI} \frac{\partial M_f}{\partial m} ds + \int_a^c \frac{M_t}{GK \cdot I_p} \frac{\partial M_t}{\partial m} ds = 0$$

$a$  = arranque       $c$  = clave

$M_f$  = momento flector en un pto cualquiera de la directriz

$M_t$  = id de torsión en un pto cualquiera id.

$M$  = momento en clave (hiperestático)

$ds$  = Elemento diferencial de la directriz

$E$  = mod. d. longitudinal.

$G$  = id transversal.

$I$  = mom. de in. de las secciones respecto a su eje vertical.

$I_p$  = momos. de in. polares.

$K$  = coef. de reducción a aplicar a estos momentos polares, como luego se verá.

Si  $m_f'$  y  $m_t'$  son los momentos isostáticos en la ménsula del semiarco,  $m$  el momento del semiarco hiperestático en clave y  $\varphi$  el ángulo de la tangente a la directriz.

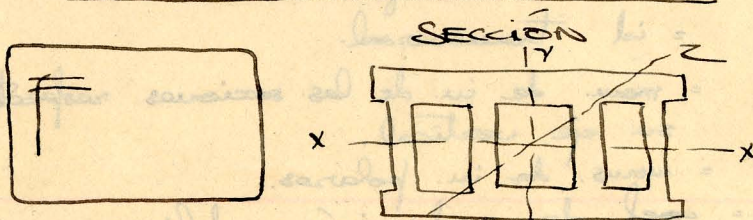


con la ~~diagonal~~ horizontal, se tiene:

$$\left. \begin{aligned} M_f &= M_f' + m \cos \varphi ; \\ M_t &= M_t' + m \operatorname{sen} \varphi ; \end{aligned} \right\}$$

Con esto podríamos escribir la ecuación de Castigliano y hallar  $m$  pero surge la dificultad en la determinación de los momentos ~~hipotéticos~~ ficticios  $k I_p$ , que no son, como en una sección ~~para~~ circular, los momentos polares, sino estos multiplicados por un coef.  $k$ , menor que la unidad, que depende del reparto de tensiones en la sección.

### Estudio elástico de la torsión



teniendo las  $\sigma_z$  de equilibrio, compatibilidad y equilibrio en el contorno, y teniendo en cuenta que:

$$(a) \quad \epsilon_x = \epsilon_y = \gamma_{xy} = 0 \quad (b) \quad \epsilon_z = 0 \quad (c) \quad u = -\alpha y z \\ \sigma = \alpha x z$$

de donde por las relaciones entre

tensiones y deformaciones:

$$\sigma_x = \sigma_y = \sigma_z = \tau_{xy} = 0$$

y quedan solamente como tensiones

$$\tau_{xz} ; \tau_{yz} ;$$

que con arreglo a las últimas ecuaciones cumplen la condición:

$$\frac{\partial \tau_{yz}}{\partial x} - \frac{\partial \tau_{xz}}{\partial y} = \frac{1}{q} \left( \frac{\partial \tau_{yz}}{\partial x} - \frac{\partial \tau_{xz}}{\partial y} \right) = \frac{\partial}{\partial z} \left( \frac{\partial u}{\partial x} - \frac{\partial v}{\partial y} \right) = 2\alpha$$

como era obligado, ya que la deformación establecida es, en planta, un simple giro alrededor del origen y uniforme a lo largo de z.

Como,  $\tau_{xz}$ ,  $\tau_{yz}$  son constantes a lo largo de z o independientes de ella, podemos establecer:

$$-\tau_{xz} = \frac{\partial \phi}{\partial y} \quad \text{"} \quad \tau_{yz} = \frac{\partial \phi}{\partial x}$$

siendo  $\phi$  una f. de  $x, y$  solamente y entonces la condición anterior toma la

forma: 
$$\frac{1}{q} \left( \frac{\partial \tau_{yz}}{\partial x} - \frac{\partial \tau_{xz}}{\partial y} \right) = -\frac{1}{q} \left( \frac{\partial^2 \phi}{\partial x^2} + \frac{\partial^2 \phi}{\partial y^2} \right) = 2\alpha$$

o sea:

$$\left( \frac{\partial^2 \phi}{\partial x^2} + \frac{\partial^2 \phi}{\partial y^2} \right) = -2q\alpha = c^2 \tag{9}$$



Con esto se satisfacen tanto las ecuaciones de equilibrio interno como las de compatibilidad.

Lo mismo sucede con las de contorno aplicadas a las superficies laterales de la pieza, excepto la última, que toma la forma:

$$\frac{\partial \phi}{\partial y} \cdot \frac{dy}{ds} + \frac{\partial \phi}{\partial x} \cdot \frac{dx}{ds} = \frac{d\phi}{ds} = 0$$

siendo  $ds$  la diferencial en el contorno de la sección.

En las superficies externas ( $l=m=0, n=1, z=0$ ) y las ecuaciones de contorno (4) se satisfacen porque la  $\sigma$  se hace id. nula y las otras dos se reducen a:

$$\iint \tau_{xz} dx dy = \int dx \int \frac{\partial \phi}{\partial y} dy = 0$$

$$\iint \tau_{yz} dx dy = - \int dy \int \frac{\partial \phi}{\partial x} dx = 0$$

ya que  $\phi$  es constante a todo lo largo del contorno. Luego la R. total es nula, como debía de ser. El momento será:

$$\iint \tau_{yz} y dx dy - \iint \tau_{xz} x dx dy =$$

$$= \left( + \iint \frac{\partial \phi}{\partial x} y dx dy + \iint \frac{\partial \phi}{\partial y} x dx dy \right) =$$

$$(III) = - \int \phi y dx - \int \phi x dy + 2 \iint \phi dx dy = 2 \iint \phi dx dy = M$$

Por consiguiente la solución:

$$\left. \begin{aligned} \tau_x = \tau_y = \tau_z = \tau_{xy} = 0 \\ \tau_{xz} = \frac{\partial \phi}{\partial y} \\ \tau_{yz} = -\frac{\partial \phi}{\partial x} \\ (a) \quad \frac{\partial^2 \phi}{\partial x^2} + \frac{\partial^2 \phi}{\partial y^2} = -2G\alpha \\ \frac{d\phi}{ds} = 0 \end{aligned} \right\}$$

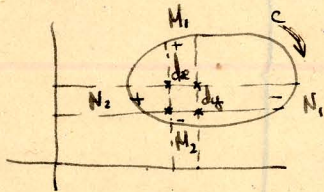
Debe notarse que aunque el valor de  $\phi$  sea arbitrario en una sección llana, para el contorno, en una multicalcular no lo es ya que aunque a uno de los contornos se le puede fijar el valor de  $\phi$  arbitrariamente, el de los contornos restantes ya no lo es.

En efecto, integrando dentro del area  $A_c$  comprendida por un contorno cerrado,  $C$ , cualquiera, la ecuación se convierte en:

$$\begin{aligned} 2G\alpha \cdot A_c &= - \iint_{A_c} \left( \frac{\partial^2 \phi}{\partial x^2} + \frac{\partial^2 \phi}{\partial y^2} \right) dx dy = - \iint_{A_c} \left( \frac{\partial \tau_{xz}}{\partial y} - \right. \\ &- \left. \frac{\partial \tau_{yz}}{\partial x} \right) dx dy = - \int dx \int \frac{\partial \tau_{xz}}{\partial y} dy + \int dy \int \frac{\partial \tau_{yz}}{\partial x} dx = \\ &= - \int \left[ \tau_{xz} \Big|_{N_1} - \tau_{xz} \Big|_{N_2} \right] dx + \int \left[ \tau_{yz} \Big|_{N_1} - \tau_{yz} \Big|_{N_2} \right] dy \end{aligned}$$



Si la hacemos a lo largo de un contorno  $c$ :



$dx$  y  $dy$  son siempre positivas

$T_{xz}$  ( $M_1$  y  $M_2$ ) es unas veces positivo y otras negativo.

$T_{yz}$  ( $N_1$  y  $N_2$ ) es unas veces

$> 0$  y otras  $< 0$ .

Luego:

$$-\int (T_{xz} - T_{yz}) dx + \int (T_{yz} - T_{xz}) dy = -\int_c T_{xz} dx - \int_c T_{yz} dy =$$

$$= -\int_c (T_{xz} dx + T_{yz} dy) = -\int_c \left( T_{xz} \frac{dx}{ds} + T_{yz} \frac{dy}{ds} \right) ds =$$

$$= -\int_c T ds \quad \text{o sea:}$$

$$2G \alpha A_c = -\int_c T ds \quad [12]$$

Si el recinto fuese ~~simple~~ múltiplemente conexo la integral correspondiente al contorno exterior tiene signo  $-$  y las correspondientes a los interiores signo  $+$ .

Por consiguiente, si  $A$  es el área nacida se tiene:

$$2G \alpha A = -\int_{\text{ext}} T ds + \int_{\text{int}} T ds + \int_{\text{int}} T ds + \dots$$

ecuación que no es más que la consecuencia inmediata de la (9)

Condición que se ha de cumplir en  $(n-1)$  contornos para que se cumpla en el  $n$ -simo.

Por último, señalemos también que en un punto y según una dirección (de normal  $\underline{n}$ ) cualesquiera dentro de la sección, la tensión cortante viene dada por la expresión:

$$\begin{aligned} \tau &= \tau_{yz} \cos(n_x) - \tau_{xz} \cos(n_y) = \\ &= - \left( \frac{\partial \phi}{\partial x} \cdot \frac{dx}{dn} + \frac{\partial \phi}{\partial y} \cdot \frac{dy}{dn} \right) = - \frac{\partial \phi}{\partial n} \end{aligned}$$

siendo  $dn$  el elemento diferencial de la normal a la dirección considerada  $\tau$ .

### METODO TEORICO-EXPERIMENTAL:

$$(15) \quad \phi = \phi' + \phi'' + \phi''' = m' [\psi' - a(x^2 + y^2)] + m'' [\psi'' - a(x^2 + y^2)] + m''' [\psi''' - a(x^2 + y^2)]$$

satisface el problema siendo  $a, m', m'', m'''$  constantes a determinar y cumpliendo las  $\psi$  la condición.

$$\frac{\partial^2 \psi}{\partial x^2} + \frac{\partial^2 \psi}{\partial y^2} = 0$$



siempre que tengan en los contornos  
los valores:

$$a(x^2 + y^2) + b_n \neq$$

siendo  $b_n$  una constante arbitraria  
para cada contorno, con lo que se  
tendrá a lo largo de cada uno  
de ellos  $\phi = \text{constante}$ .

Que es la sup. delimitada por  
una membrana sin peso propio  
que tenga estas ordenadas.

Veamos como determinaríamos  
 $m', m'', m''', a$ , etc se obtendrían los  
datos necesarios

En este caso tenemos además del  
contorno exterior 3 contornos interiores.  
y por tanto tres constantes  $b_n$  una para  
cada contorno. Por la simetría de la  
figura, dos de estas  $b_n$  son iguales.

Si llamamos  $b'_c$  al desnivel de una de  
estas membranas y  $b''_c$  a la de la central  
(sobre el exterior)

Si construyésemos 3 membranas distintas  
y tuviésemos además los valores  
 $b''_c, b''_e$ ,  $b'''_c, b'''_e$  en estas dos

últimas, podemos determinar  $m'$   $m''$   $m'''$  por medio de la ec. (13) por la cual  $\phi$  nos dará:

en un contorno lateral:

$$\int_e \frac{\partial \phi}{\partial n} ds = m' \int \frac{\partial \phi'_e}{\partial n_e} ds_e + m'' \int \frac{\partial \phi''_e}{\partial n_e} ds_e + m''' \int \frac{\partial \phi'''_e}{\partial n_e} ds_e = +2G\alpha A_e$$

en el central:

(17) 
$$\int_c \frac{\partial \phi}{\partial n} ds = m' \int \frac{\partial \phi'_c}{\partial n_c} ds_c + m'' \int \frac{\partial \phi''_c}{\partial n_c} ds_c + m''' \int \frac{\partial \phi'''_c}{\partial n_c} ds_c = +2G\alpha A_c$$

y en el exterior:

$$\int_e \frac{\partial \phi}{\partial n} ds = m' \int \frac{\partial \phi'_e}{\partial n_e} ds_e + m'' \int \frac{\partial \phi''_e}{\partial n_e} ds_e + m''' \int \frac{\partial \phi'''_e}{\partial n_e} ds_e = -2G\alpha A_e$$

Tambien disponemos de la ecuación (9) que da en este caso:

(18) 
$$\frac{\partial^2 \phi}{\partial x^2} + \frac{\partial^2 \phi}{\partial y^2} = 4a (m' + m'' + m''') = -2G\alpha$$

En lugar de tomar como incógnitas  $a$ ,  $m'$ ,  $m''$ ,  $m'''$ , se da un valor a  $a$  y a  $b_u$  y se toma como incógnitas  $\alpha$  y  $\frac{m'}{9\alpha}$ ,  $\frac{m''}{9\alpha}$ ,  $\frac{m'''}{9\alpha}$ .



En este sistema, como una de las ecuaciones es consecuencia de las otras, podemos emplear una de ellas para comprobar.

Luego bastará con construir tres membranas sobre contornos correspondientes a  $\alpha$  valores arbitrarios de  $a$  y  $b$ , medir en ellas los valores de  $\phi'$ ,  $\phi''$ ,  $\phi'''$  en suficiente número de puntos para poder dibujar las superficies correspondientes y de ellas obtener los  $\phi'$ ,  $\phi''$ ,  $\phi'''$ .

Con estas  $\phi'$ ,  $\phi''$ ,  $\phi'''$  determinar los valores de las máximas pendientes en los contornos  $\frac{\partial \phi}{\partial n}$  con esos datos resolver el sistema [17] y comprobar con la ecuación [18].

Una vez determinados los valores de

$\frac{u'}{q\alpha}$   $\frac{u''}{q\alpha}$   $\frac{u'''}{q\alpha}$  se obtiene empleando

la (15) la superficie  $\frac{\phi}{q\alpha}$  y entonces la 11 nos permitirá determinar directamente, por cubicación del volumen limitado por esa superficie y el plano del contorno exterior, el valor

$\frac{M_t}{Q_x}$  del momento de torsión para  $Q_x$  6  
unidad; y esta superficie nos dará  
la máxima  $t$ . constante por su  
pendiente para  $Q_x = 1$  siendo su  
dirección la tangente a la curva  
de nivel en el punto.

